Astrométrie - algorithmes

Pierre Astier
LPNHE / IN2P3 / CNRS, Universités Paris 6&7.

29/05/2015



Astrométrie

- Mesure des positions d'objets sur le ciel.
- Deux étapes :
 - Mesure des positions sur le senseur.
 - Construction d'une « solution astrométrique » qui rapporte un ensemble de mesures dans un repère commun.

Positions sur le senseur

- Au moins 3 méthodes :
 - Barycentre sur un domaine
 - Barycentre pesé sur un domaine
 - Position de PSF (objets ponctuels)

Barycentre sur un domaine (« position d'ouverture »)

$$X_0 = \frac{\sum_{p} (I_p - s) X_p}{\sum_{p} (I_p - s)} = \frac{\sum_{p} (I_p - s) X_p}{f}$$

ciel

Source faible, bruit uniforme
$$Var[I_p] = b$$
 $Var[X_0] = \frac{b\sum_p (X_p - X_0)(X_p - X_0)^T}{f^2}$

- E[X₀] est bien défini si on augmente le domaine d'intégration,...
- Mais Var[X₀] diverge.
 - → L'espérance des seconds moments n'est pas définie!

4

Barycentre pesé

$$X_0 = \frac{\sum_{p} (I_p - s) W[X_p - X_0] X_p}{\sum_{p} W[X_p - X_0] (I_p - s)}$$

W est en général une fonction paire. On a donc une définition implicite de X_0

Source faible, bruit uniforme $Var[I_p] = b$

$$Var[X_0] = \frac{b\sum_{p} W^2X_p - X_0(X_p - X_0)^T}{\left[\sum_{p} W[X_p - X_0](I_p - s)\right]^2}$$

Variance bornée si W décroit plus vite que 1/R²

Barycentre gaussien

$$W(X_p - X_0) \propto \exp \left[-\frac{1}{2} (X_p - X_0)^T \mathbf{w}_g (X_p - X_0) \right]$$

On peut adapter w_g pour décrire la forme de l'objet (SDSS, Berstein & Jarvis (2002), Astier et al (2013))

L'ajustement de la position et de w_g peut se faire itérativement En cherchant le point fixe de:

$$X_{0} = \frac{\sum_{p} X_{p} W[X_{p}](I_{p} - s)}{\sum_{p} W[X_{p}](I_{p} - s)}$$

$$\mathbf{w}_{g}^{-1} = 2 \frac{\sum_{p} (X_{p} - X_{0})(X_{p} - X_{0})^{T} W[X_{p}](I_{p} - s)}{\sum_{p} W[X_{p}](I_{p} - s)}$$

$$W[X_{p}] \equiv \exp\left[-\frac{1}{2}(X_{p} - X_{0})^{T} \mathbf{w}_{g}(\vec{X}_{p} - \vec{X}_{0})\right]$$

Position de PSF

$$\chi^{2} = \sum_{p} \frac{\left[I_{p} - s - fP(X - X_{0})\right]^{2}}{V[I_{p}]}$$

- On est obligé d'ajuster simultanément flux et position.
- Si la PSF est paire, flux et position sont non corrélés.
- En revanche, flux et carré des écarts de position sont corrélés.
 - → le flux est toujours sous-estimé

Flux et position de PSF

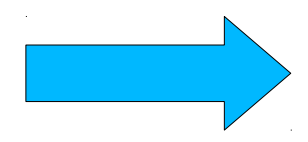
$$E[\widehat{f}] = f \frac{E[\int P(x,y)P(x-\widehat{\delta_x},y-\widehat{\delta_y})dxdy]}{\int P^2(x,y)dxdy}$$

$$= f \left\{ 1 + \frac{1}{2} \frac{E[\widehat{\delta_x}^2] \int P\partial_x^2 P + E[\widehat{\delta_y}^2] \int P\partial_y^2 P}{\int P^2(x,y)dxdy} + \mathcal{O}(\delta^4) \right\}$$

$$Var[\widehat{f}] = \left(w \int P^2 \right)^{-1}$$

$$Var[\widehat{\delta_x}] = E[\widehat{\delta_x^2}] = \left(wf^2 \int (\partial_x P)^2 \right)^{-1} = \left(-wf^2 \int P\partial_x^2 P \right)^{-1}$$

(Guy et al 2010, appendice E)



$$E[\widehat{f}] \simeq f \left\{ 1 - \frac{Var[\widehat{f}]}{f^2} \right\}$$

Résumé

- Les positions non pesées n'ont pas de variance définie. Les second moments ne sont pas bien définis.
- Les positions pesées fournisent des estimateurs de variance finie si le poid décroit assez vite. On peut adapter le poids à la forme de l'objet.
- Les positions de PSF sont une forme de position pesée, où le poids est la PSF. C'est réservé aux source ponctuelles, et les flux de PSF sont toujours sous-estimés, d'autant plus que l'objet est faible.

Astrometry-stac

Etablir un WCS

- WCS: World Coordinate System
- Proposition de normalisation pour l'encodage des transformations entre coordonnées sur une image FITS et coordonnées plus conventionnelles.
- Exemples :
 - Coordonnées « pixel » → RA, Dec
 - Indice dans un spectre tabulé → longueur d'onde.
 - Coordonnées « pixel » d'une image de la Lune → longitude et latitude lunaire.

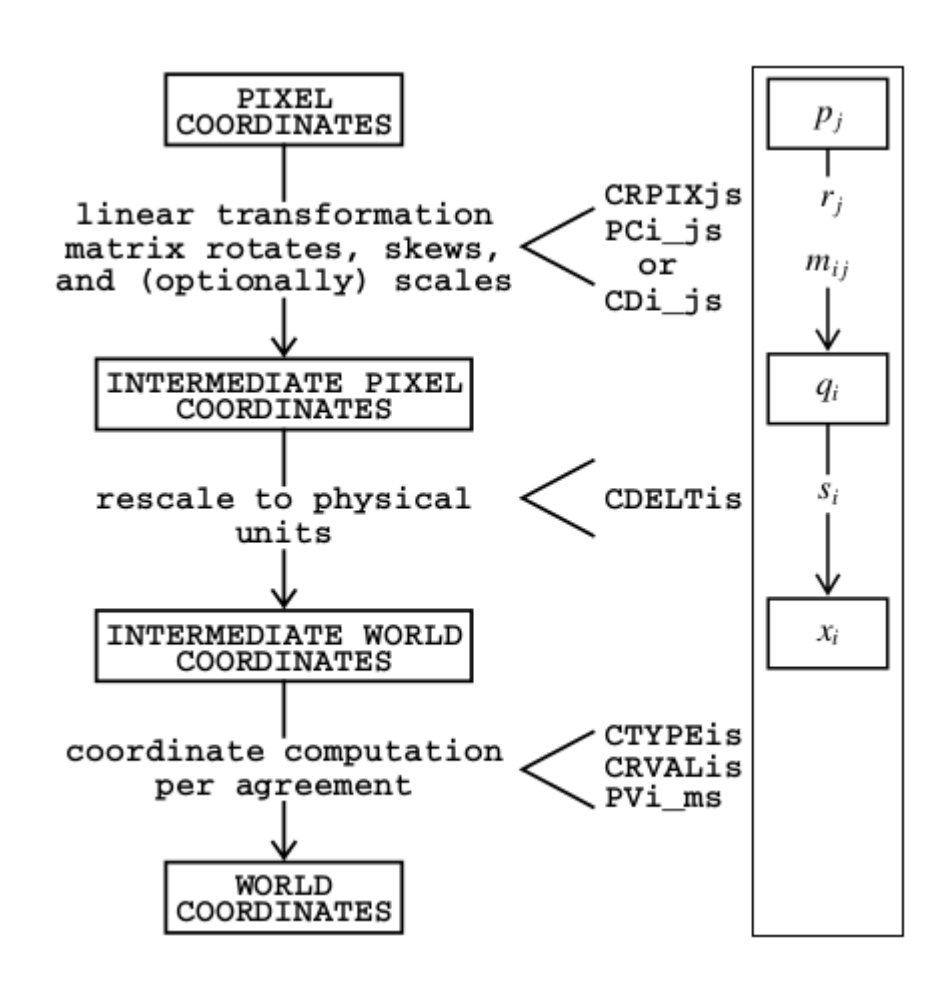
WCS: concepts

Greisen, E.W. & Calabretta, M.R. A&A 395, (2002)

Convention « redondante » : il y a plusieurs manières d'encoder la même transformation

Proposition qui rassemble les pratiques de l'époque en en excluant le moins possible

Standard de fait, mais avec des extensions peu utilisées



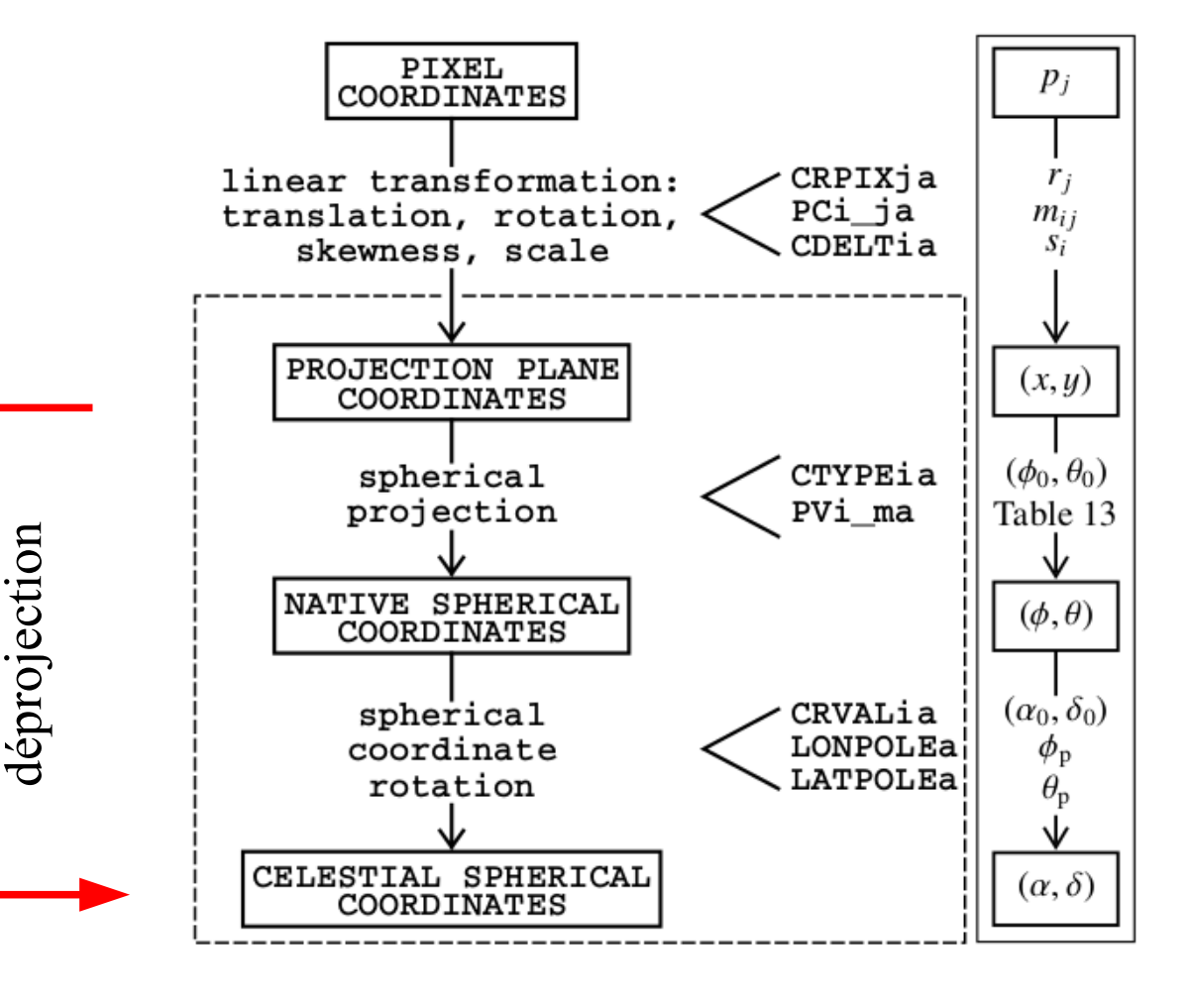
WCS: coordonnées sidérales (1)

Calabretta, M.R., & Greisen, E.W., (2002), A & A, 395, 1077-1122

En pratique:

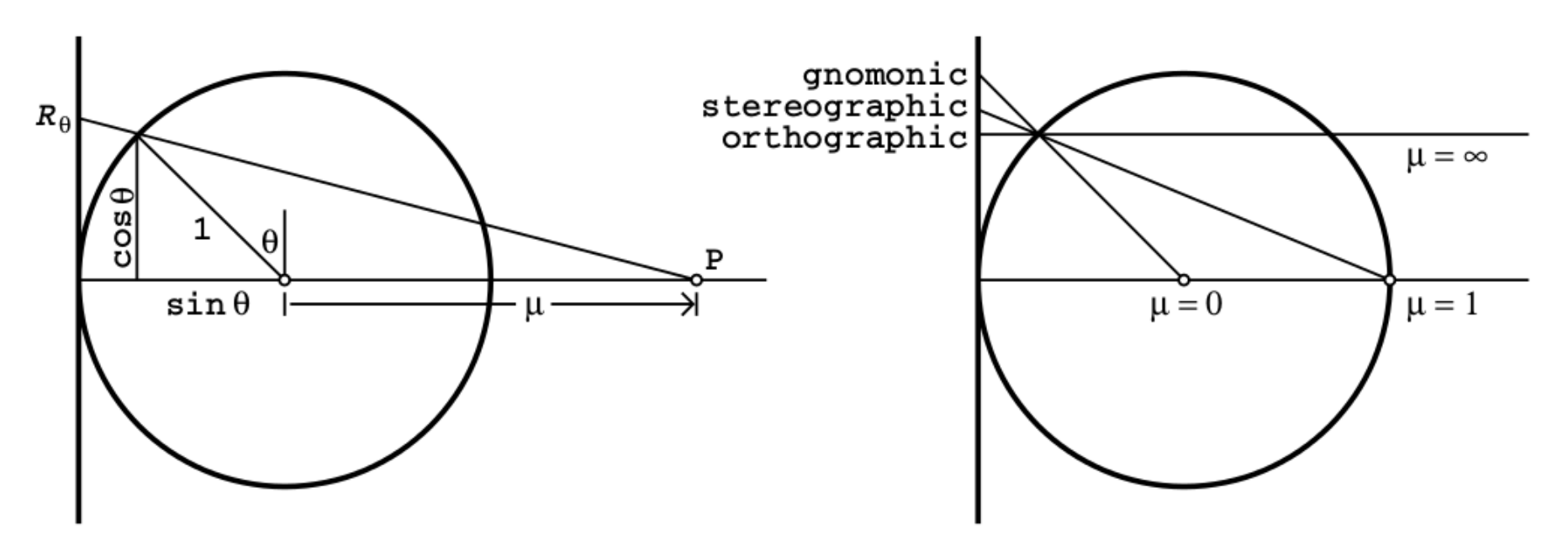
CRPIXi
CDi_j
ou CDELTi

CTYPEi CRVALi



WCS: coordonnées sidérales (2)

Il existe des douzaines de projections. La plus utilisée : projection « gnomonique »



Gnomonique:

$$CTYPE1 = RA$$
 TAN $CTYPE2 = DEC$ TAN

Etablir le WCS d'une image

- Mécanique du télescope : en aveugle, au mieux 5" en général moins bien.
- On peut améliorer en associant le catalogue de l'image à un catalogue de référence, le plus souvent moins profond que notre image.

• Donc:

- Associer le catalogue de l'image et le catalogue de référence, par combinatoire.
- Ajuster les paramètres (certains...) du WCS
- Encoder dans le header FITS.

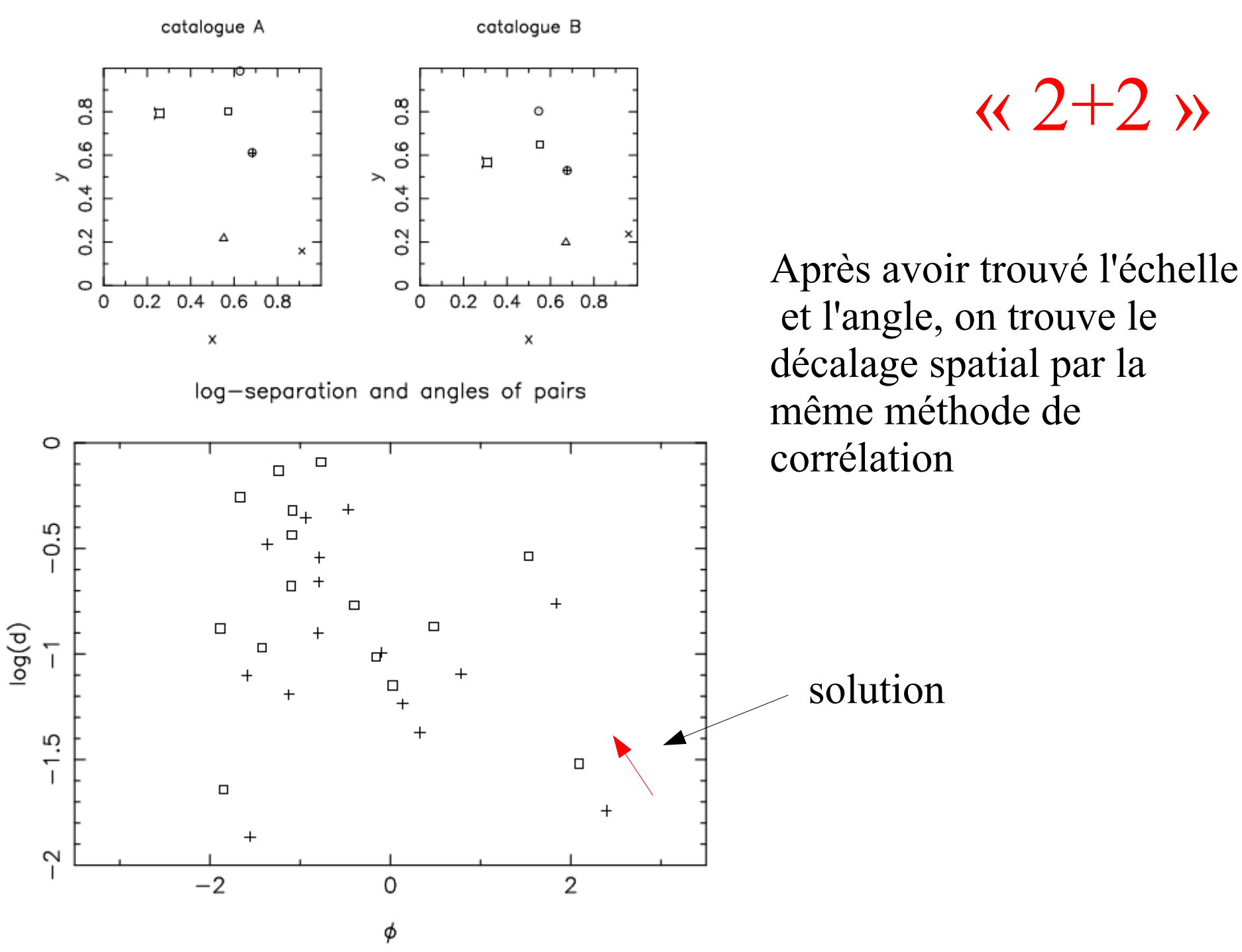
Combinatoire de l'association

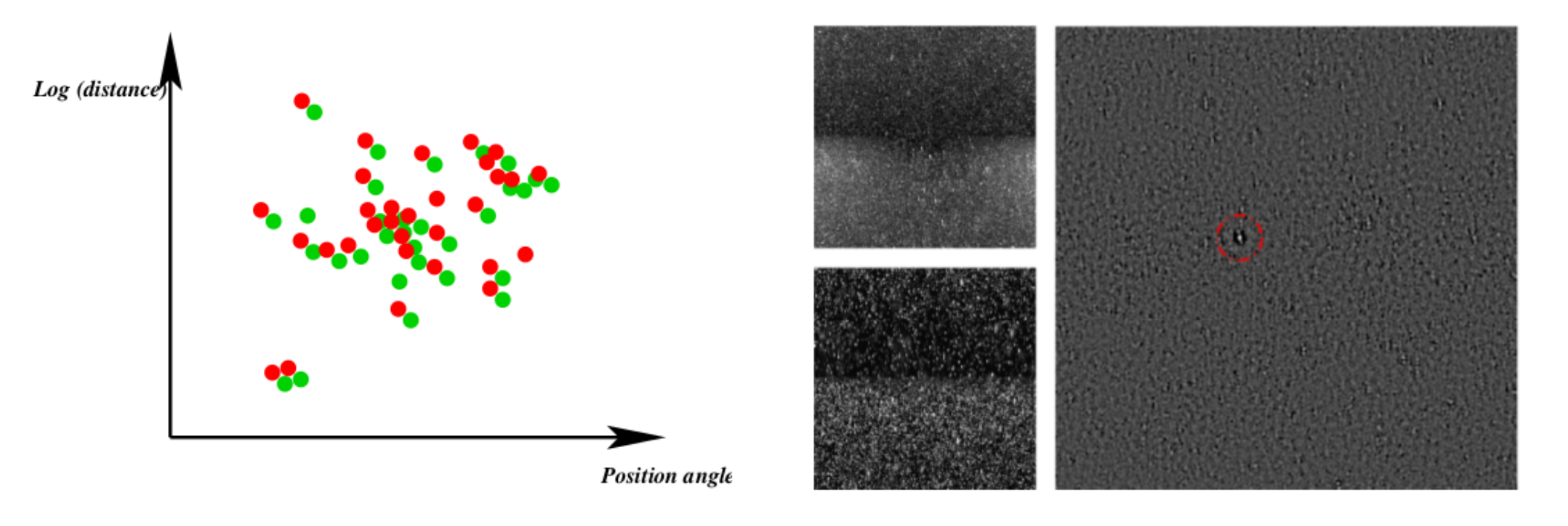
- On commence par projeter le catalogue de référence sur un plan tangent à un point « raisonnable », e.g. le pointé annoncé du télescope.
- Dans l'hypothèse où l'image est faiblement distordue, on cherche 4 paramètres, e.g. :
 - 1 décalage (2)
 - **–** 1 rotation (1)
 - 1 échelle (1)

Association: la méthode « 2+2 »

Le catalogue est un ensemble de coordonnées $\{X_i\}$ On fabrique des segments $r_{ij} = X_j - X_i$ On fait l'histo 2-d $(\log(r), \arg(r))$ Un décalage spatial ne change rien à l'histogramme Un changement d'échelle ou une rotation le décale

On fait la même chose pour le catalogue de référence et on Cherche le maximum de corrélation.





Exemple tiré de la doc de SCAMP

4 paramètres d'un coup (1)

- La méthode 2+2 fait 2 transformées de Hough
- On peut essayer de faire les 4 paramètres d'un coup, ce qui rend la méthode plus solide.

$$\begin{aligned} &\{X_{i}\} & \to & r_{ij} = X_{j} - X_{i} \\ &\{X'_{i}\} & \to & r'_{ij} = X'_{j} - X'_{i} \end{aligned}$$

De tous les couples (r_{ij}, r'_{kl}) , on peut tirer les 4 paramètres et en faire l'histogramme 4-D

- Il faut tronquer les catalogues, sinon la combinatoire explose
- A ce stade il est judicieux de conserver les objets saturés.

4 paramètres d'un coup (2)

$${X_{i}} \rightarrow r_{ij} = X_{j} - X_{i}$$

 ${X'_{i}} \rightarrow r'_{ij} = X'_{j} - X'_{i}$

De tous les couples $(r_{ij},r'_{kl)}$, on peut tirer les 4 paramètres et en faire l'histogramme 4-D :

$$S = |r_{ij}|/|r'_{kl}|$$
, angle = $arg(r_{ij}) - arg(r'_{kl})$, delta = $X_i - X'_k$

Première idée: Histo (S, angle, delta_x, delta_y)

Ou bien: Histo (S, angle, i, k)

Avec la deuxième méthode :

- On retrouve plus rapidement les couples de paires qui contribuent à un pic dans l'histo,
 - On s'épargne la réflexion sur le choix du binning en delta.

4 paramètres d'un coup (3)

- Pour chaque « maximum » de l'histogramme :
 - Collecter les paires
 - Ajuster la transfo (linéaire)
 - Collecter les paires dans les listes originales
 - Le nombre de paires trouvé est le facteur de mérite d'une solution.
- On choisit la meilleure solution !
- En général les premiers maximas sont des solutions similaires.
- Temps d'exécution : O(5s) pour $N_1, N_2 \sim 100$

Ajuster le WCS

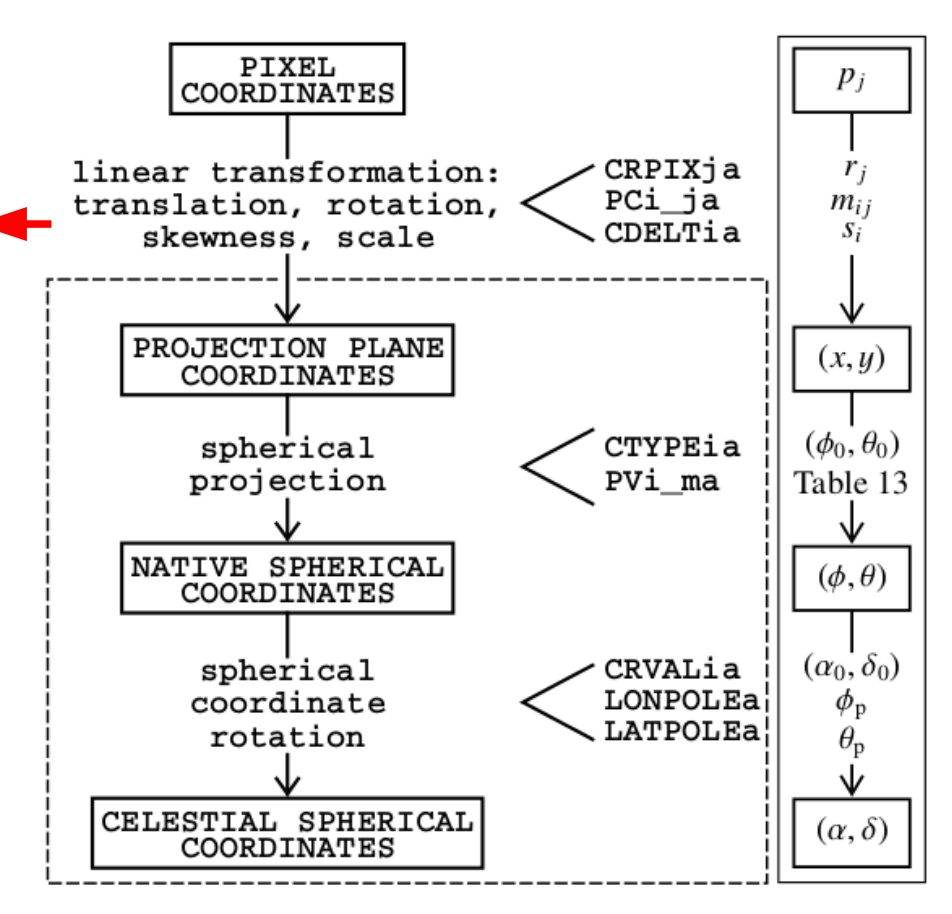
$$\begin{pmatrix} x_{TP} \\ y_{TP} \end{pmatrix} = \begin{pmatrix} CD1_1 & CD1_2 \\ CD2_1 & CD2_2 \end{pmatrix} \begin{pmatrix} x_p - CRPIX1 \\ y_p - CRPIX2 \end{pmatrix}$$

Pour de petits angles, la déprojection devient :

$$\begin{pmatrix} \alpha \\ \delta \end{pmatrix} = \begin{pmatrix} 1/\cos\delta & 0 \\ 0 & 1 \end{pmatrix} \begin{pmatrix} x_{TP} \\ y_{TP} \end{pmatrix} + \begin{pmatrix} CRVAL1 \\ CRVAL2 \end{pmatrix}$$

Et donc, on ne peut pas ajuster

- les CD (4)
- les CRPIX (2)
- les CRVAL (2)

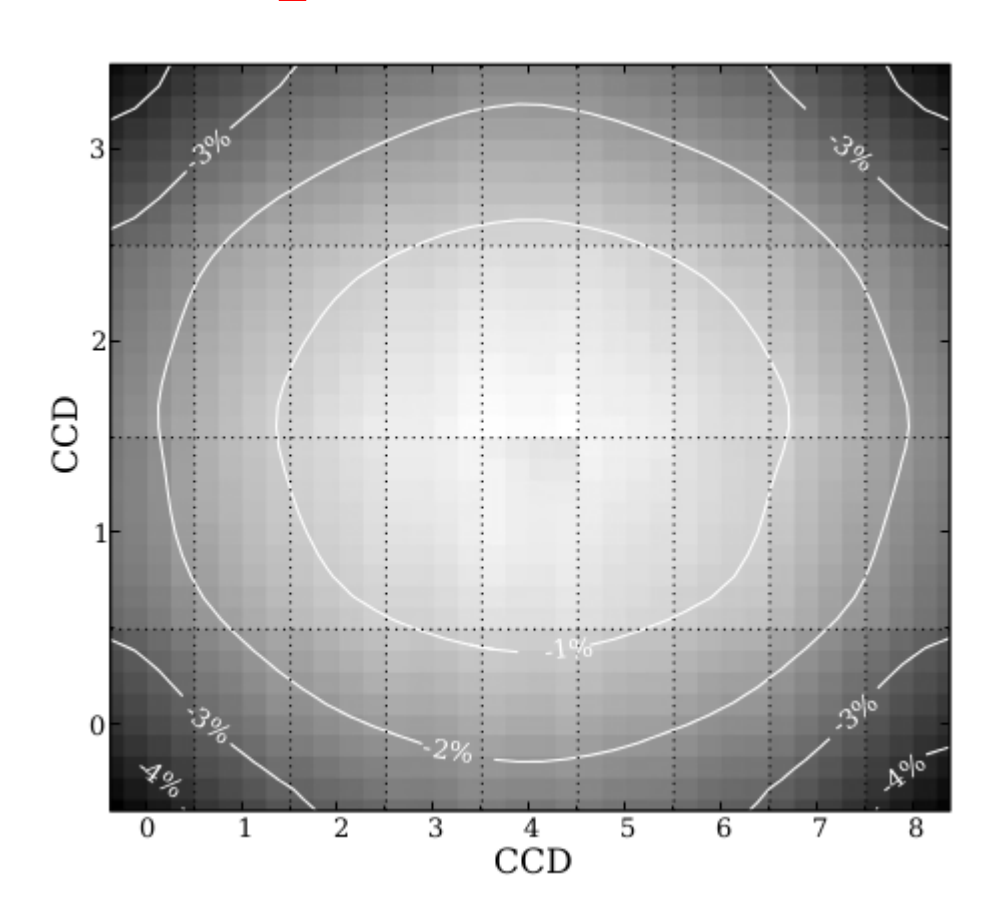


En pratique, le plus simple est de fixer le plan de projection (CRVAL{1,2})

Distorsions

- Le modèle impose une relation linéaire entre coordonnées sur le senseur et plan de projection.
- Ce n'est vrai que si l'image d'une droite sur le senseur est une droite sur ce plan.
- En général les optiques produisent des distorsions importantes.
- Il faut donc un moyen de les encoder.

Distorsions: plusieurs % entre centre et bord



Variation relative du jacobien i.e. (Plate-scale)² sur Megacam (Regnault+ 2009)

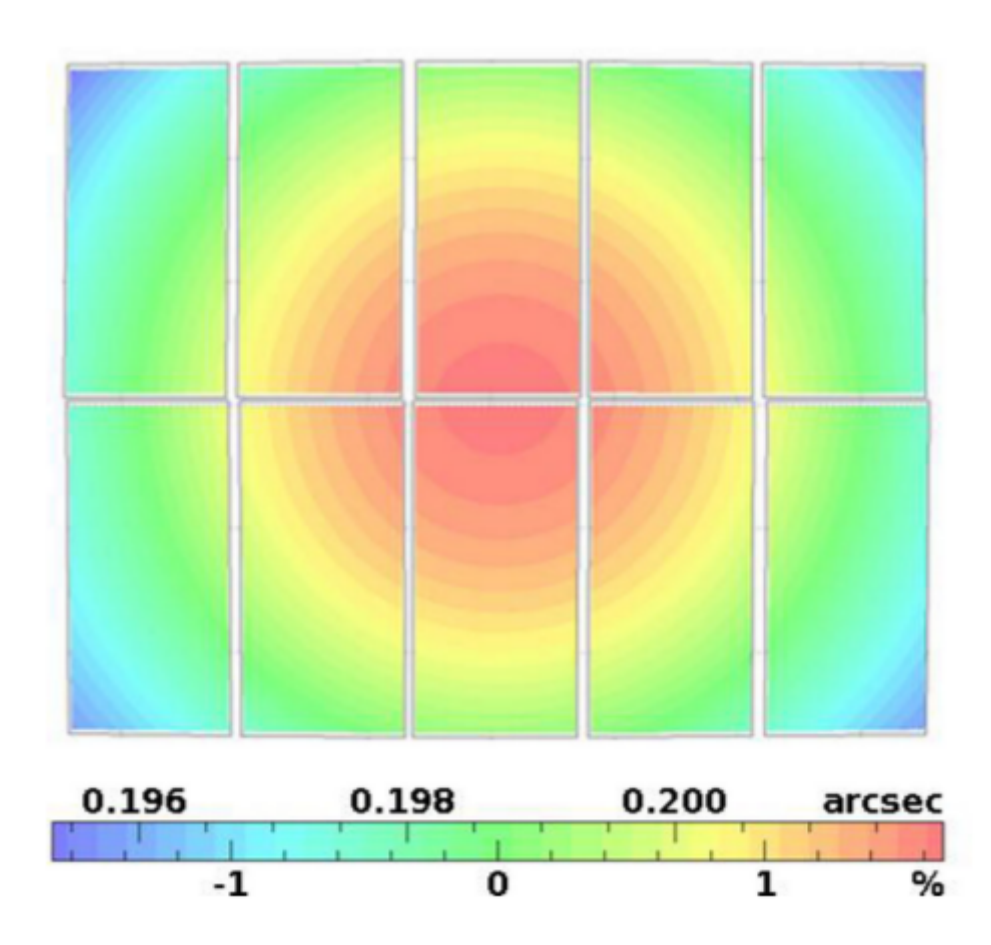


Plate-scale sur Suprime-cam (von der Linden+ 2014)

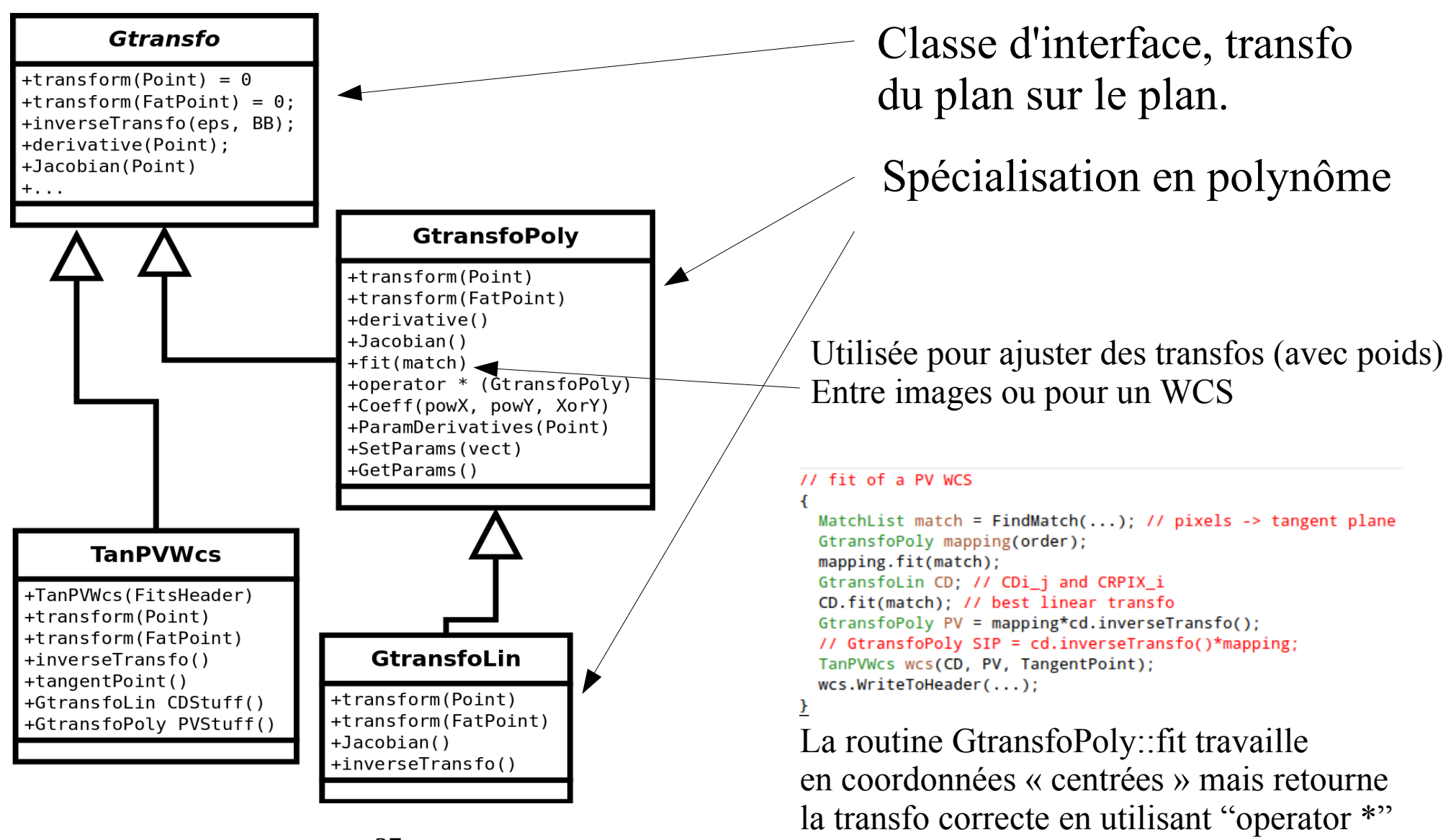
Distorsions

- Pour l'encodage des distorsions, il n'y a pas vraiment de norme universelle. Deux schémas sont « courants », il utilisent tous les deux un polynôme pour décrire les distorsions.
 - SIP : Pix2TP = Lin([CD,CRPIX], Pol(X_{ccd}))
 - PV : Pix2TP = Pol(Lin([CD,CRPIX], X_{ccd}))
- Dans les deux cas, le résultat est un polynôme de même degré que celui utilisé pour les distorsions
- La séparation est arbitraire : on choisit d'avoir le meilleur WCS si les distorsions sont ignorées

Distorsions

- Implémentations :
 - SIP: lsst-stack, ds9, weslib
 - PV: scamp, swarp, Poloka, weslib
- En pratique l'un ou l'autre est un détail d'implémentation. Le SIP est facile à implémenter « par dessus » la wcslib, comme c'est fait dans le stack.
- Un détail pratique : la wcslib n'est pas très rapide. Swarp la contourne pour le ré échantillonnage.

Fit du WCS: sketch simplifié de l'implémentation dans Poloka



Associer l'ensemble d'une exposition

- On prend un ensemble d'expositions (complètes) et on évalue la moyenne des transformations pixel-> plan tangent.
- Pour une nouvelle exposition, on transporte l'ensemble des catalogues vers le plan tangent avec ces transformations moyennes.
- On associe (combinatoire) avec le catalogue de référence.
- On récupère les associations dans chaque CCD et on ajuste un WCS par CCD.
- Bénéfices:
 - Une seule recherche combinatoire/exposition
 - Les poses courtes peuvent être équipées d'un WCS
- Fonctionne sur, Megacam et Suprime Cam.

Plusieurs expositions

- Quand on a plusieurs images du même champ, on peut ajuster les transformations pour minimiser la dispersion entre images.
- On tire parti:
 - D'une résolution de position en général meilleure que les catalogues de référence. Ça va changer avec Gaia.
 - Du fait que bien des objets dans les images ne sont pas dans le catalogue de référence. Ça ne va guère changer avec Gaia.

Aims

• Fit high precision WCS's of an image set prior to stacking, or simultaneous measurements

• Why:

- limiting the PSF degradation when stacking.
- Limiting shear induced by astrometric offsets.
- Precision transformations between images.

• In the Terapix Astromatic suite, this functionality if fulfilled by "Scamp".

Ĵ

Sketch

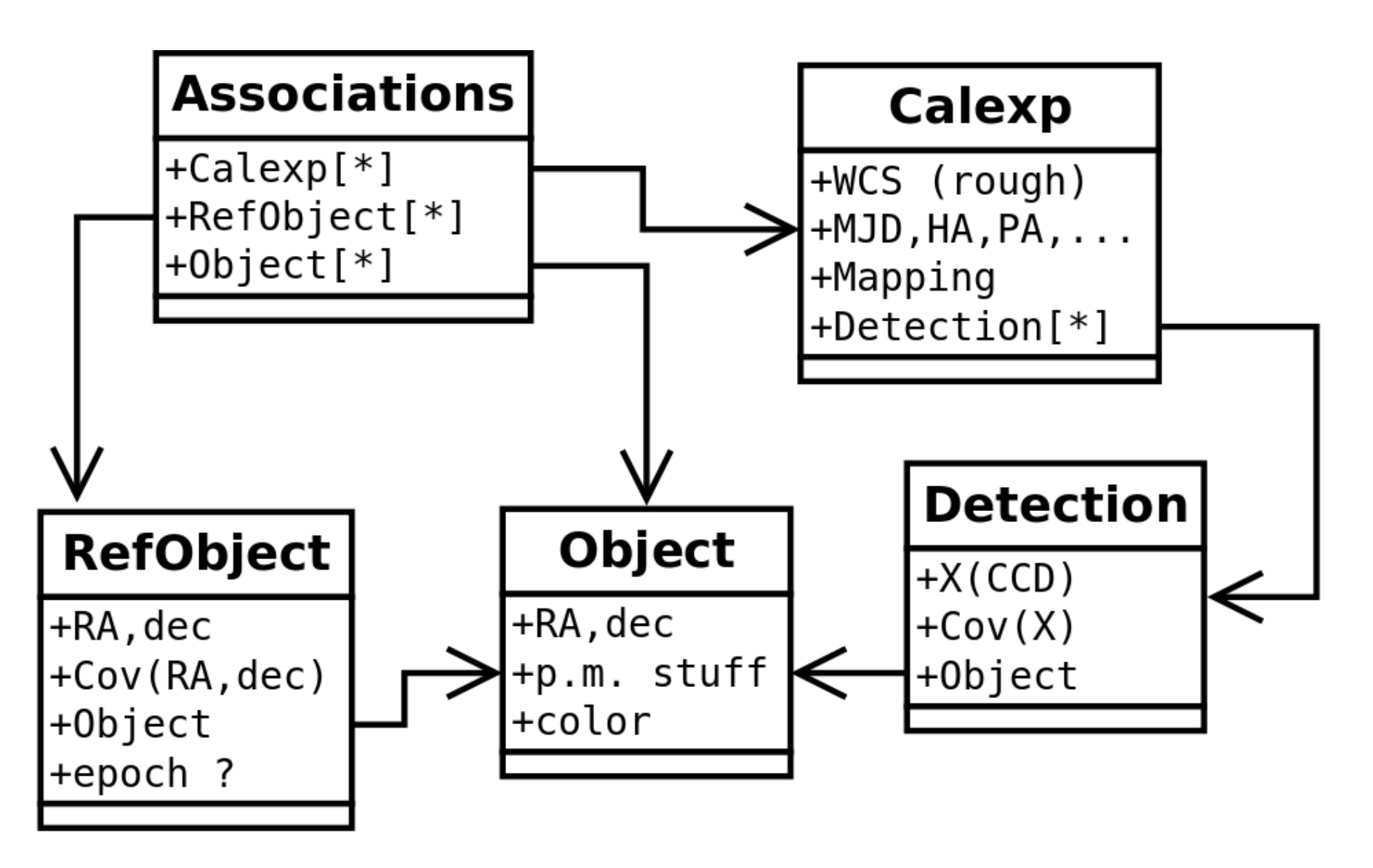
- Our images are already equipped with a catalog, and a rough WCS
- Stage 1 : associate all the catalogs
- Stage 2: associate with an external position catalog, if needed (set the sideral frame)
- Stage 3: fit simultaneously
 - Mappings from input image coordinates to some common frame (→ WCS's)
 - Positions of the objects in common

Associating detections of the same object

The simple way:

- For each image
 - Load catalog and apply quality cuts
 - Match it to the "Object catalog" (in the tangent plane)
 - Add the unmatched objects to the "Object catalog"
- I know it is fast and efficient (with a 2D O(N1 log(N2)) matching)
- One could be worried by the outcome depending in principle of the order of input images.
- In practice, this is not serious if the WCS's are accurate enough (1-2 pixels) and blends are ignored (as they should).
- Faster than reading the catalogs.

Implémentation des associations



Fit: Least Squares

$$\chi^{2}_{meas} = \sum_{c,d} [M_{c}(X_{c,d}) - P_{c}(F_{i})]^{T} W_{c,d} [M_{c}(X_{c,d}) - P_{c}(F_{i})]$$

Measurement terms

c,d: calexp, detection

 M_c : mapping (pixel \rightarrow TP), one per calexp

X_{c.d}: measured position of the object (pixels)

 P_c : projection (sky \rightarrow TP)

 $W_{c,d}$: Measurement weight (1/var), transformed through M_c .

 F_i : (sky) position of the object (measured as $X_{c,d}$)

$$\chi_{ref}^2 = \sum_{j} [P(\mathbf{F_j}) - P(R_j)]^T W_j [P(\mathbf{F_j}) - P(R_j)]$$

Reference terms

P: some (user-provided) projection

F_i: (fitted) sky position of the object

R_i: sky position of the object fitted (reference catalog)

 W_j : R_j weight₃(1/var), transformed through P

Least Squares (2)

$$\chi^2_{meas} = \sum_{c,d} [\mathbf{M_c}(X_{c,d}) - P_c(\mathbf{F_i})]^T W_{c,d} [\mathbf{M_c}(X_{c,d}) - P_c(\mathbf{F_i})]$$

Measurement terms

• • •

 $W_{c,d}$: Measurement error, transformed through M_c .

 \dots so W depends on some fitted parameters! Yes, but in practice, the scale of M is extremely well known, so this can be ignored.

$$\chi_{ref}^2 = \sum_{j} [P(\mathbf{F_j}) - P(R_j)]^T W_j [P(\mathbf{F_j}) - P(R_j)]$$

Reference terms

P: some (user-provided) projection Why $P(F_j)-P(R_j)$ rather than just (F_j-R_j) ? because the distance on the sphere is **not** Euclidean

Least Squares (3)

$$\chi^2_{meas} = \sum_{c,d} [\mathbf{M_c}(X_{c,d}) - P_c(\mathbf{F_i})]^T W_{c,d} [\mathbf{M_c}(X_{c,d}) - P_c(\mathbf{F_i})]$$

- This setup accommodates the fit of mappings between images:
 - All the P_c are set to identity.
 - One of the M_c is set to identity.
 - No external catalog nor "reference terms".
- This yields the optimal mapping between images, given position measurements and their uncertainties.

Différence avec SCAMP

$$\chi^{2} = \sum_{s} \sum_{a} \sum_{b>a} w_{s,a,b} \| \boldsymbol{\xi}_{a}(\boldsymbol{x}_{s,a}) - \boldsymbol{\xi}_{b}(\boldsymbol{x}_{s,b}) \|^{2},$$
(13)

where $w_{s,a,b}$ is the non-zero weight for the pair of detections in fields a and b related to source s:

$$w_{s,a,b} = \frac{1}{\sigma_{s,a}^2 + \sigma_{s,b}^2}. (14)$$

 $\sigma_{s,f}$ is the positional uncertainty for source s in field f.

- Scamp n'ajuste pas les positions des objets. Il minimise l'ensemble des distances 2 à 2. C'est sous-optimal.
- En revanche, Scamp est bien debuggé, produit des tas de plots de contrôle, et a une bonne centaine de leviers de contrôle.

Least Squares (4)

$$\chi^2_{meas} = \sum_{c,d} [\mathbf{M_c}(X_{c,d}) - P_c(\mathbf{F_i})]^T W_{c,d} [\mathbf{M_c}(X_{c,d}) - P_c(\mathbf{F_i})]$$

Pour minimiser, on développe le chi² au second ordre dans les paramètres,

$$\frac{d^2\chi^2}{d\theta^2} \equiv H = JJ^T, \qquad \frac{d\chi}{d\theta} \equiv g$$

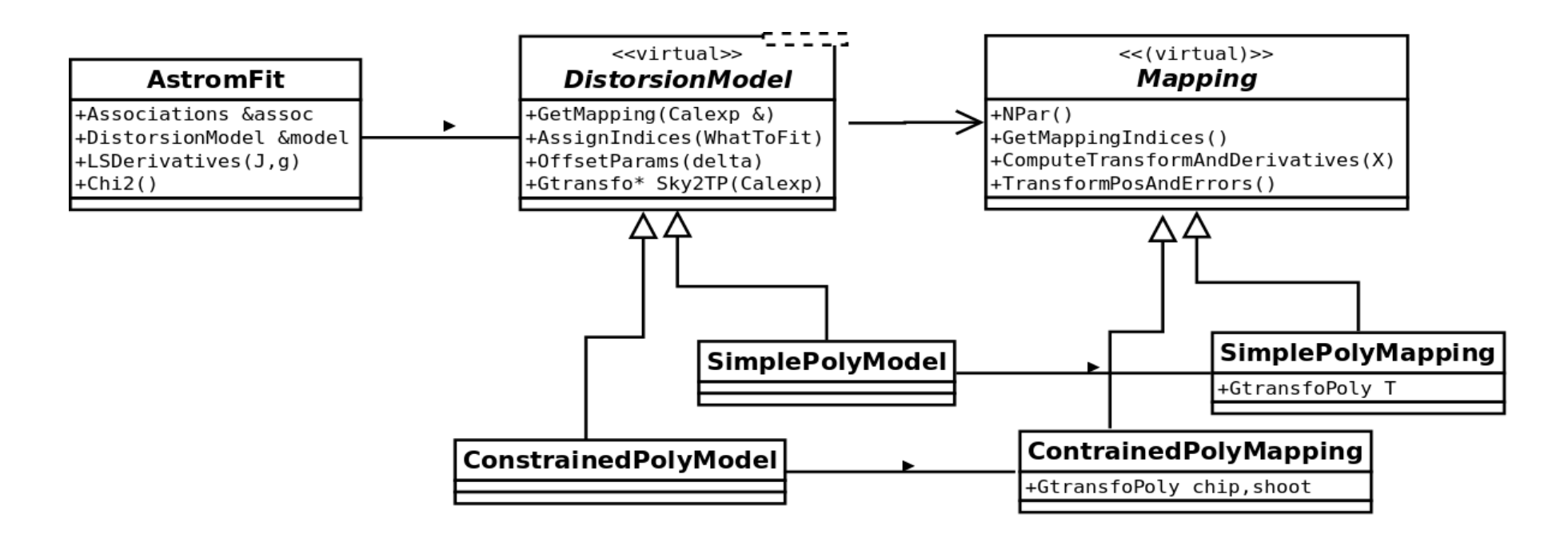
J est une matrice rectangulaire, $N_{par} \times N_{carrés}$ et on résout pour la meilleure direction de descente :

$$H\delta\theta = -g$$

Implementation

- Least squares with (mostly analytical) computation of derivatives (w.r.t positions and parameters).
- Sparse matrix algebra (Eigen3 package). Similar performance with Cholmod.
- About 1500 lines of new C++ code (~ 10 classes) to implement the fit and the model. Used existing (home-made) classes for everything else.
- The fit talks to the model via two abstract classes.

Fit astrométrique



Les SimplePolyXXX réalisent à la fois un ajustement simultané des WCS (sans utiliser que des images peuvent provenir du même instrument) et un ajustement des transfos entre images (sans référence à un catalogue externe)

Les ConstrainedXXX implémentent un modèle dans lequel les positions relatives des CCDs sont fixes

Astrometry-stack

Le « pré-conditionnement » avant factorisation

Cholesky:

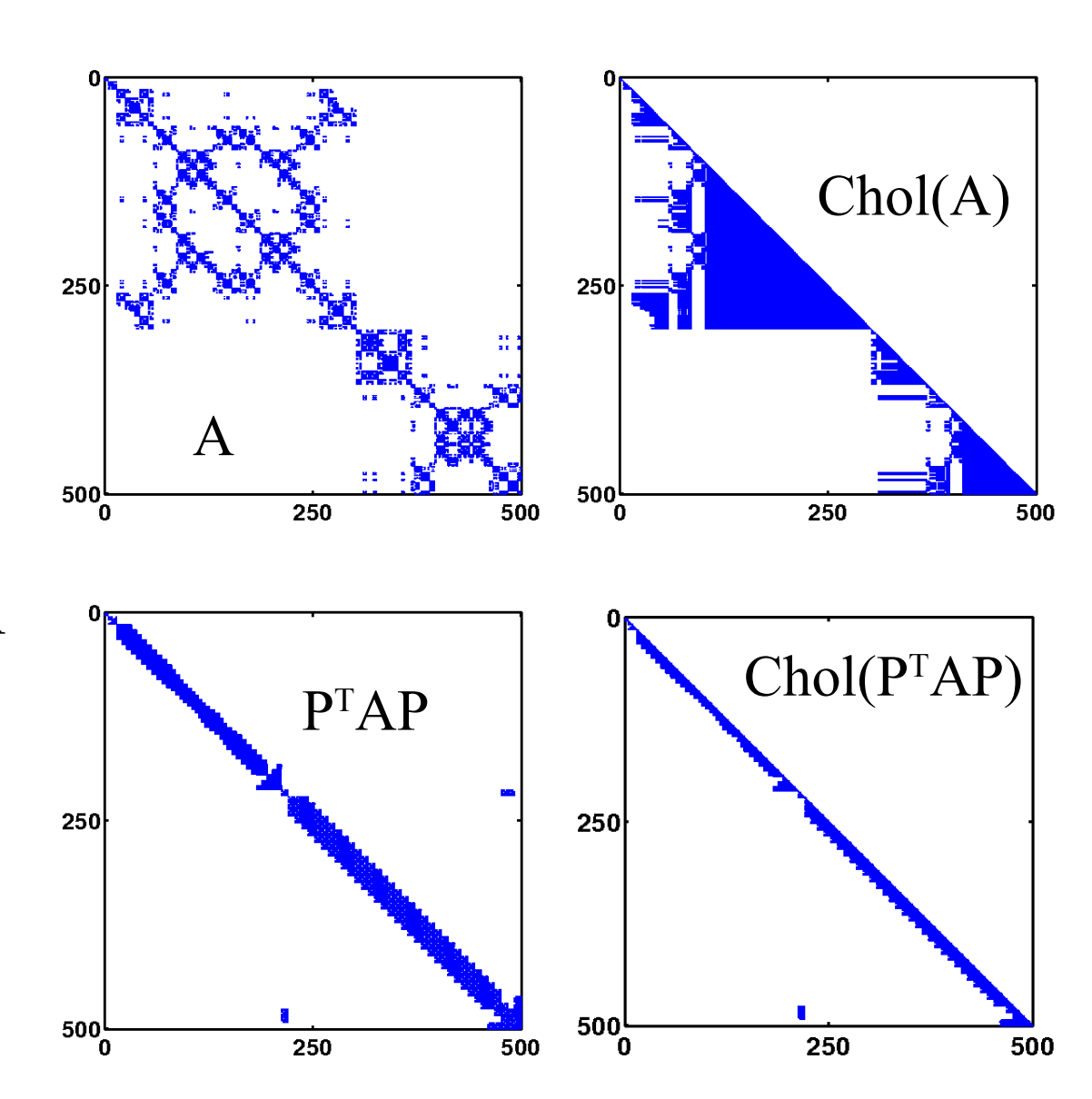
 $A = LL^T$

(ou LDL^T)

L triangulaire

P: permutation

A: pos-def.



Outlier removal

- I have not found a **canned** small-rank update of Cholesky factorizations. The only one I know about is Cholmod providing a rank-1 update.
- So, I have used the following trick: do not remove in a single pass 2 outliers that constrain the same parameter.
- Would require a lot of iterations to come to zero outlier removed.
- I was not that patient: I ran it only 4 iterations.

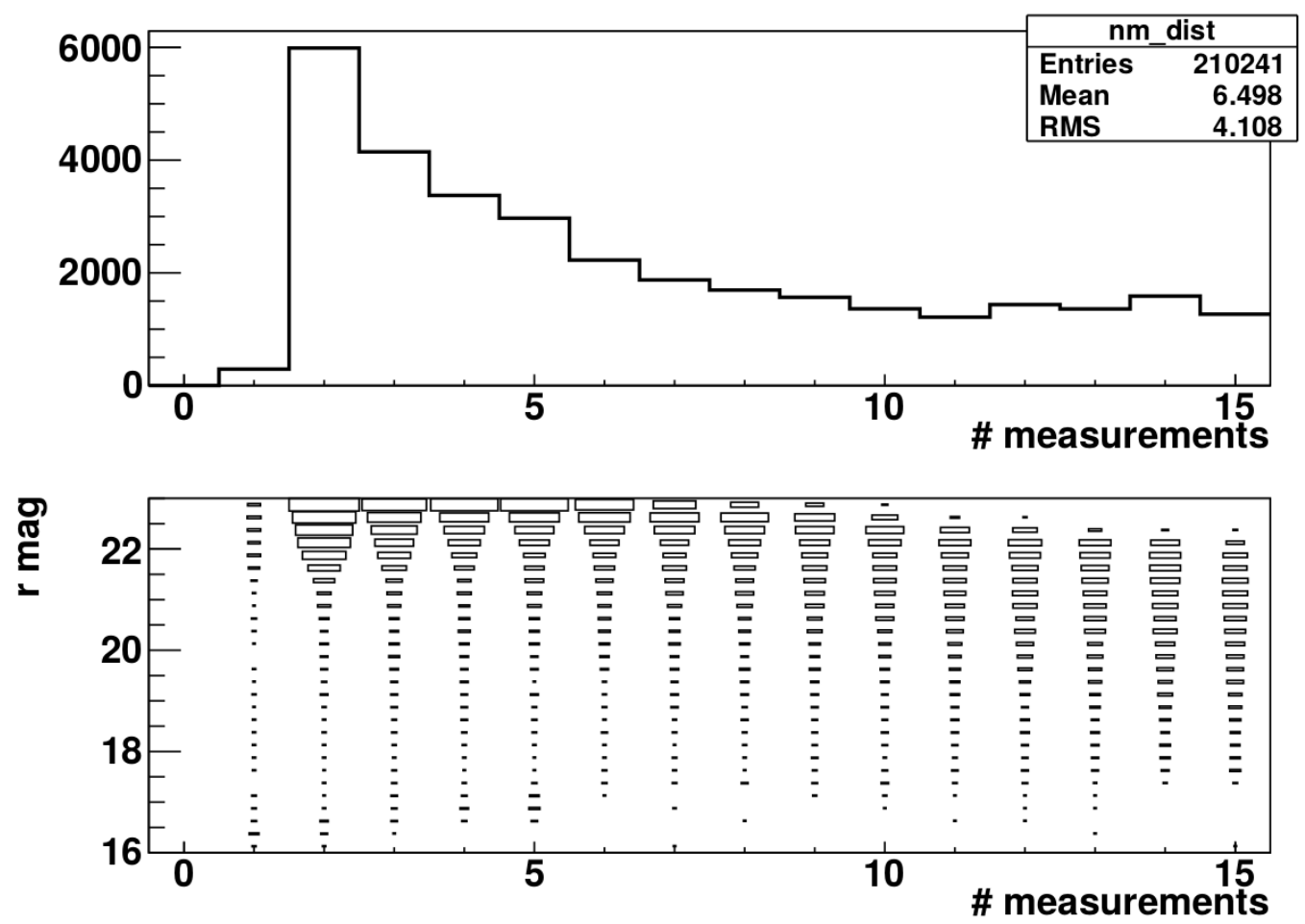
Trial run

- 15 Megacam r-band 300-s exposures on D3, observed over the same lunation. 540 Calexp's.
- Use USNO-A2 for the reference catalog.
- Ignore proper motions.
- Use Gaussian-weighted positions and associated errors.
- Strict selection of measurements (no flag at all, S/N>10), average of ~400 measurements/calexp
- All calexps have their own mapping parameters as if they all came from different instruments

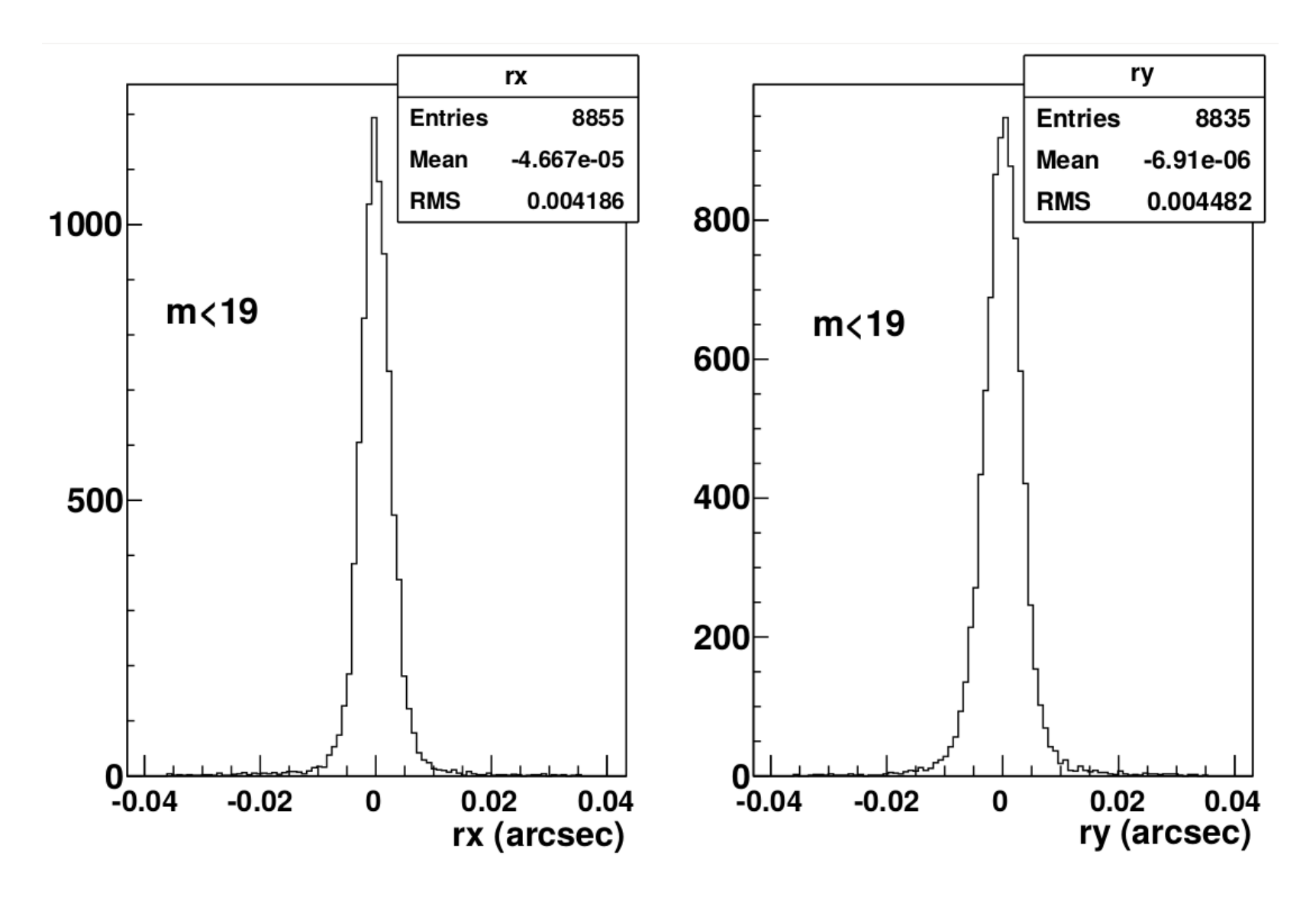
43

Trial run

• \sim 32,500 objects, \sim 210,000 measurements.



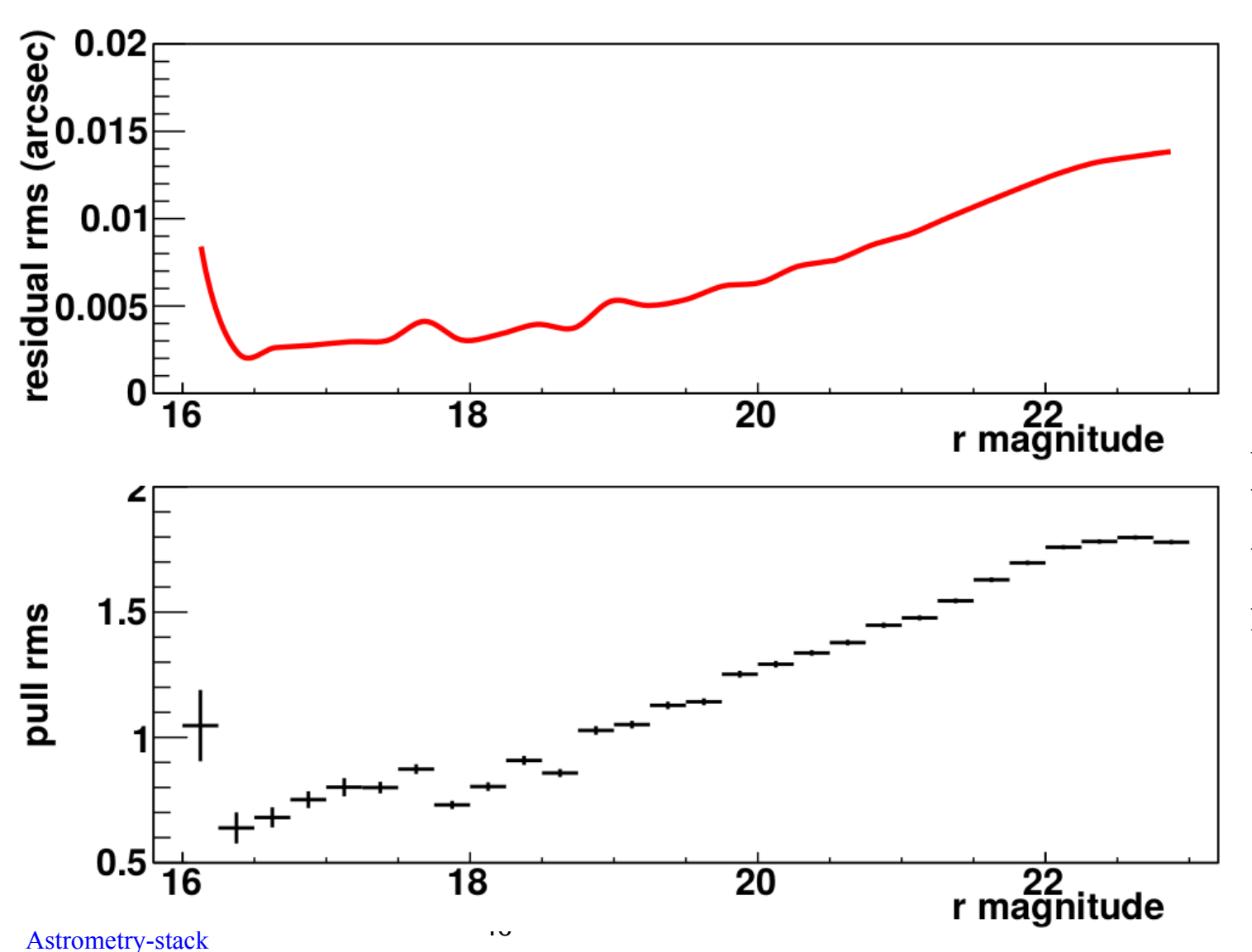
Trial run: residuals



Residuals of the "measurement terms", these are internal residuals

Residuals vs mag

Use simplistic error model $V=V_{meas}+(0.02 pix)^2$



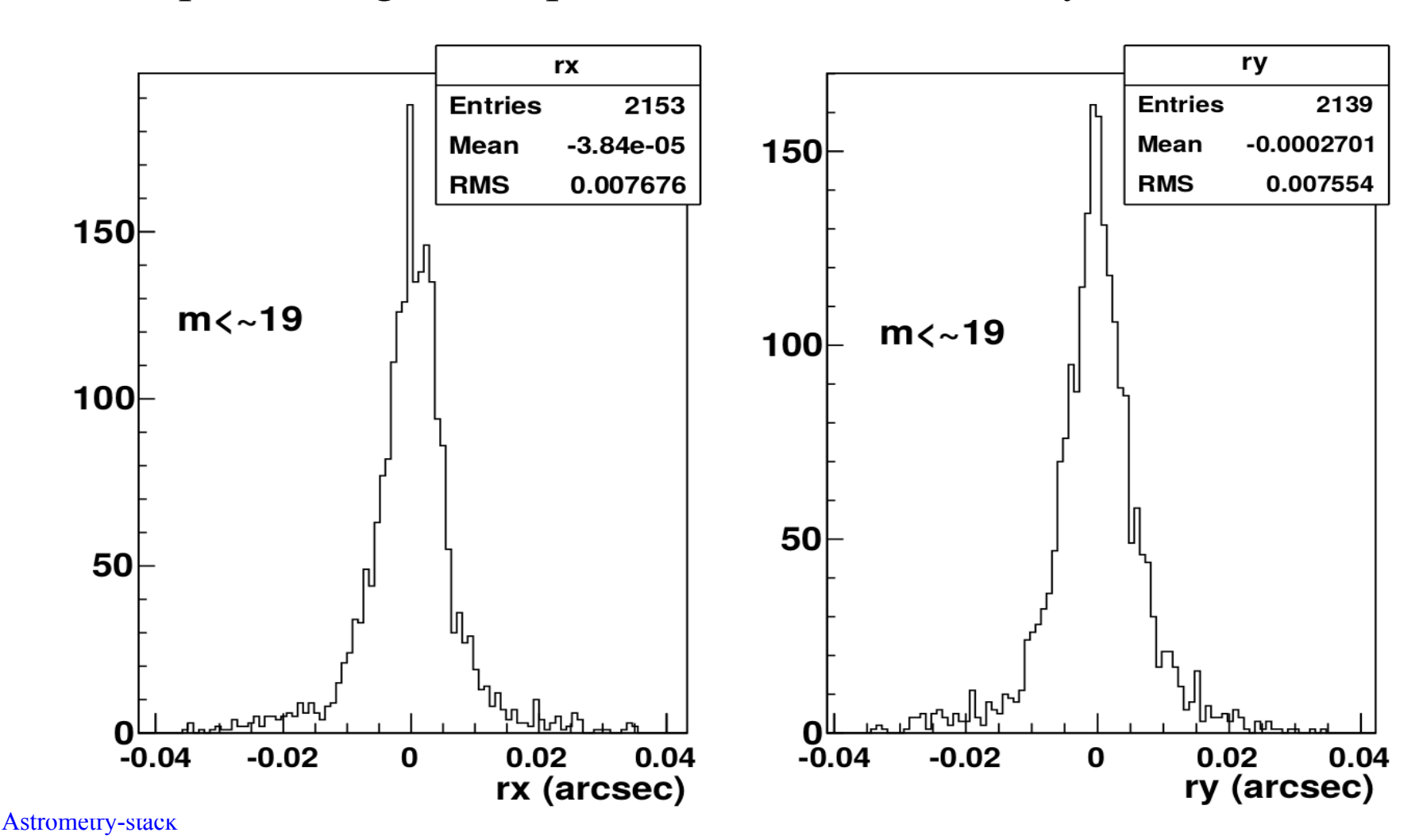
Beware: residuals are **not**Studentized, and
The number of measurement is not that large

A smaller constant term would help for the bright side, but not for the faint side

Overall: it could be much worse!

Second trial run: Suprime cam

120-s (i and z)-band exposures reduced by Augustin Guyonnet. 12 exposures, guessed photometric scale. Exactly the same code.



Computer resources

- Execution time: for the 15 Megacam exposures:
 - Reading the (540) catalogs : ~ 100 seconds at 33% CPU
 - Associating : negligible
 - Fitting: <~ 20 s per iteration
 - Computing the derivatives : $\sim 1 \text{ s}$
 - "Squaring" the Jacobian, i.e. $H = JJ^T$: $\sim 3s$
 - Factorize-solve-update (dim=75,510, nnz=17,164,700) ~13 s.
 - Partial fits (positions OR mappings) are solved instantly.
 - Total: 125.137u 19.769s 3:40.44 65.7% (Xeon 2.3 GHz)
- Memory reaches ~1GByte (not completely sure though)

To be done (at least):

- I still have to test the code of the mapping model for a "rigid instrument". I would not be surprised if the residuals come out much larger. Have to think about relaxing rigidity.
- Study dispersions of faint objects (galaxies mostly).
- Proper motions, parallaxes? the code to handle proper motions is there, but I have not implemented anything to detect "moving" stars.
- Output of mappings (i.e. WCS's)... Which format? Output of the catalog.

To be done (suite)

- Identifier les possibilités de parallélisme de la factorisation.
- Liaison avec le stack :
 - Header FITS (standardisation).
 - Catalogues.
- Lecture du code.

Code

- http://gitlab.in2p3.fr/astier/gastro
- A titre documentaire : ne peut tourner sans poloka-core
- La branche dans laquelle je travaille s'appelle « sparsetrial »
- Doc sur http://supernovae.in2p3.fr/~astier/gastro/
- Les dépendances sont installées au CC
- L'insertion dans le stack va nécessiter du découpage

(Simplified) class diagram

